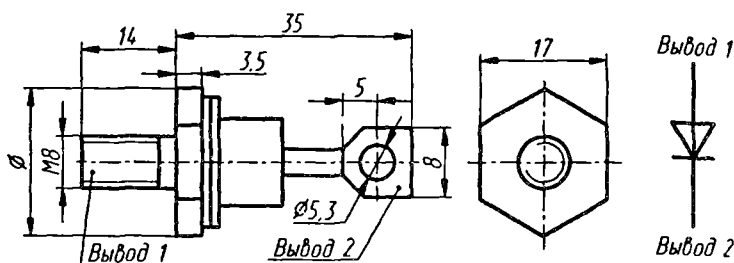


2ДЛ132-50, ДЛ132-50, ДЛ132-63, 2ДЛ132-80, ДЛ132-80

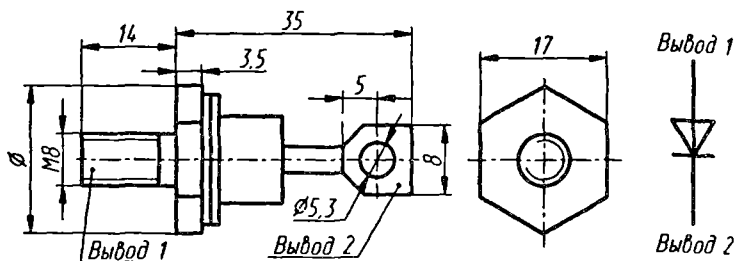
Диоды кремниевые, диффузионные, лавинные. Предназначены для применения в преобразователях электроэнергии постоянного и переменного токов на частотах до 1,5 кГц, а также для защиты цепей аппаратуры от импульсных электрических перегрузок по напряжению. Диоды 2ДЛ132-50, 2ДЛ132-80 имеют 11 классов по напряжению (от 4 до 14), ДЛ132-50, ДЛ132-63, ДЛ132-80 — 12 классов (от 4 до 15). Выпускаются в металлокерамическом корпусе с жестким выводом катода. Охлаждение воздушное естественное (или принудительное). Тип прибора и схема соединения электродов с выводами указываются на корпусе.

Масса диода не более 27 г.

2ДЛ132-50, 2ДЛ132-80,



ДЛ132-50, ДЛ132-63, ДЛ132-80



Электрические параметры

Импульсное прямое напряжение при $I_{\text{пр, и}} = 3,14 I_{\text{пр, ср, макс}}, T_{\text{п}} = +25 \text{ }^\circ\text{C}$, не более	1,35 В
Пороговое напряжение* при $I_{\text{пр, и}} = (1,57...4,71) I_{\text{пр, ср, макс}}, T_{\text{п}} = +160 \text{ }^\circ\text{C}$, не более	0,85 В
Напряжение пробоя* при $T_{\text{п}} \leq +160 \text{ }^\circ\text{C}$, $I_{\text{обр}} = 10 \text{ мА}$ для 2ДЛ132-50, ДЛ132-50, ДЛ132-63, $I_{\text{обр}} = 15 \text{ мА}$ для 2ДЛ132-80, ДЛ132-80	1,25 $U_{\text{обр, и, п, макс}}$
Динамическое сопротивление* при $I_{\text{пр, и}} = (1,57...4,71) I_{\text{пр, ср, макс}}, T_{\text{п}} = +160 \text{ }^\circ\text{C}$, не более:	
2ДЛ132-50, ДЛ132-50	3,4 МОм
ДЛ132-63	2,6 МОм
2ДЛ132-80, ДЛ132-80	2,0 МОм
Время обратного восстановления* при $U_{\text{обр, и}} = 100 \text{ В}$, $di/dt = 5 \text{ А/мкс}$, $T_{\text{п}} = +160 \text{ }^\circ\text{C}$, не более:	
2ДЛ132-50, ДЛ132-50	9,3 мкс
ДЛ132-63	9,8 мкс
2ДЛ132-80, ДЛ132-80	10,2 мкс
Заряд восстановления* при $U_{\text{обр, и}} = 100 \text{ В}$, $di/dt = 5 \text{ А/мкс}$, $T_{\text{п}} = +160 \text{ }^\circ\text{C}$, не более:	
2ДЛ132-50, ДЛ132-50	138 мкКл
ДЛ132-63	160 мкКл
2ДЛ132-80, ДЛ132-80	190 мкКл
Повторяющийся импульсный обратный ток при $U_{\text{обр, и}} = U_{\text{обр, и, п, макс}}$, не более:	
$T_{\text{п}} = +25 \text{ }^\circ\text{C}$	0,8 мА
$T_{\text{п}} = +160 \text{ }^\circ\text{C}$:	
2ДЛ132-50, ДЛ132-50	4 мА
ДЛ132-63	6 мА
2ДЛ132-80, ДЛ132-80	8 мА
Тепловое сопротивление переход—корпус, не более:	
2ДЛ132-50, ДЛ132-50	0,55 $^\circ\text{C/Вт}$
ДЛ132-63	0,44 $^\circ\text{C/Вт}$
2ДЛ132-80, ДЛ132-80	0,35 $^\circ\text{C/Вт}$

Предельные эксплуатационные данные

Повторяющееся импульсное обратное напряжение:

2ДЛ132-50, 2ДЛ132-80	400...1400 В
ДЛ132-50, ДЛ132-63, ДЛ132-80	400...1500 В

Импульсное рабочее обратное напряжение $0,8 U_{\text{ОБР, И, П, МАКС}}$

Постоянное обратное напряжение $0,6 U_{\text{ОБР, И, П, МАКС}}$

Средний прямой ток при $T_K = +125^\circ\text{C}$:

2ДЛ132-50, ДЛ132-50	50 А
ДЛ132-63	63 А
2ДЛ132-80, ДЛ132-80	80 А

Неповторяющийся импульсный прямой ток

при $t_H = 10 \text{ мс}$:

$T_n = +25^\circ\text{C}$:

2ДЛ132-50	1300 А
2ДЛ132-80	1500 А

$T_n = +160^\circ\text{C}$:

ДЛ132-50	1000 А
ДЛ132-63	1100 А
2ДЛ132-50, ДЛ132-80	1200 А
2ДЛ132-80	1400 А

Неповторяющаяся импульсная обратная

рассеиваемая мощность при $t_H = 100 \text{ мкс}$,

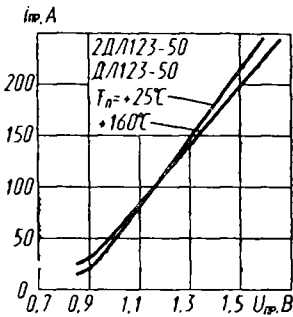
$T_n = +160^\circ\text{C}$ 3,8 кВт

Температура перехода $-60...+160^\circ\text{C}$

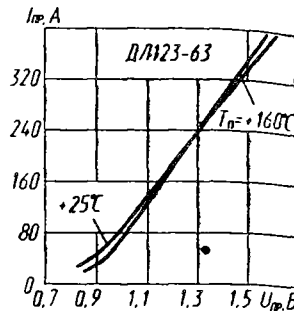
Температура корпуса $+125^\circ\text{C}$

При монтаже диодов в аппаратуре. Растягивающая сила должна быть не более 39,2 Н, крутящий момент — не более 5,6 Н·м, изгибающая сила — не более 45 Н.

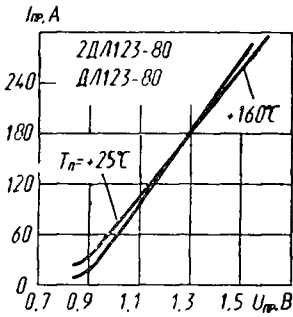
Расстояние от корпуса диода до места пайки не менее 8 мм. Температура пайки вывода не должна превышать $+270^\circ\text{C}$, время пайки не более 5 с, мощность паяльника до 60 Вт.



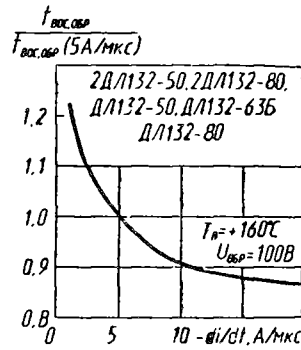
Зависимости прямого тока от напряжения



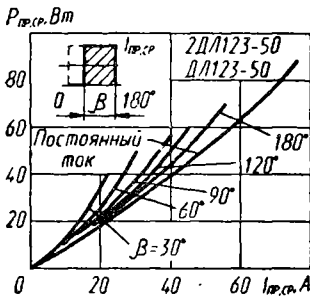
Зависимости прямого тока от напряжения



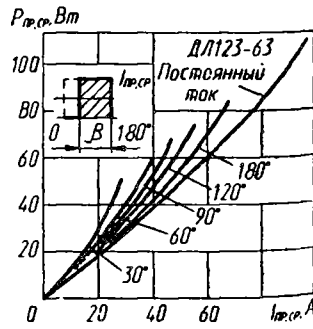
Зависимости прямого тока от напряжения



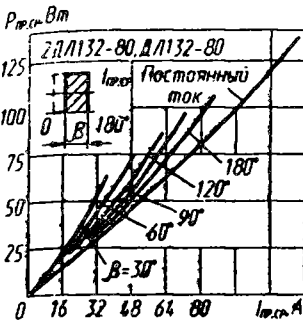
Зависимость времени обратного восстановления от скорости нарастания импульса тока



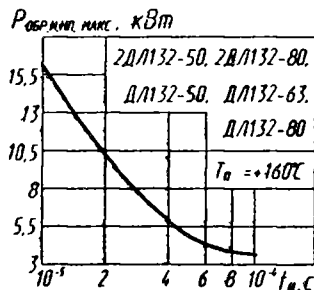
Зависимости мощности прямых потерь от среднего прямого тока прямоугольной формы



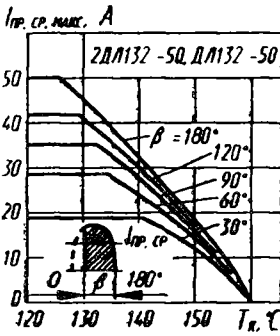
Зависимости мощности прямых потерь от среднего прямого тока прямоугольной формы



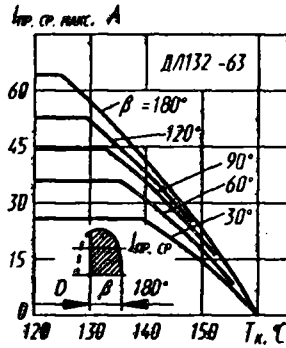
Зависимости мощности прямых потерь от среднего прямого тока прямоугольной формы



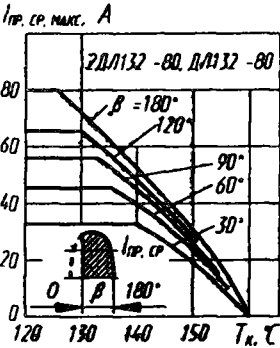
Зависимость допустимой неповторяющейся импульсной мощности обратных потерь от длительности импульса



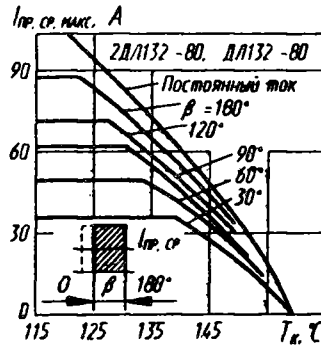
Зависимости допустимого среднего прямого тока синусоидальной формы от температуры корпуса



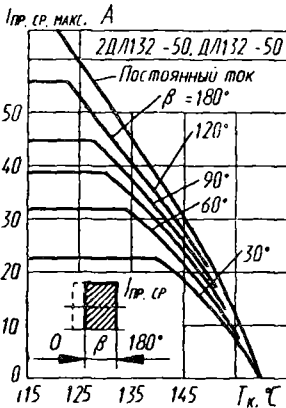
Зависимости допустимого среднего прямого тока синусоидальной формы от температуры корпуса



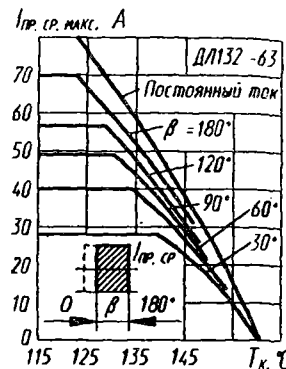
Зависимости допустимого среднего прямого тока синусоидальной формы от температуры корпуса



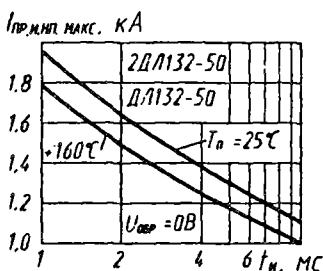
Зависимости допустимого среднего прямого тока прямоугольной формы от температуры корпуса



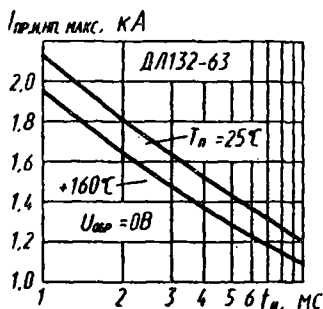
Зависимости допустимого среднего прямого тока прямоугольной формы от температуры корпуса



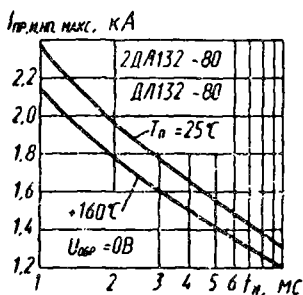
Зависимости допустимого среднего прямого тока прямоугольной формы от температуры корпуса



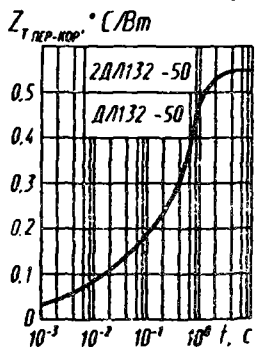
Зависимости допустимого неповторяющегося импульсного прямого тока от длительности импульса



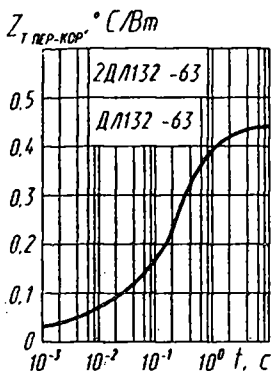
Зависимости допустимого неповторяющегося импульсного прямого тока от длительности импульса



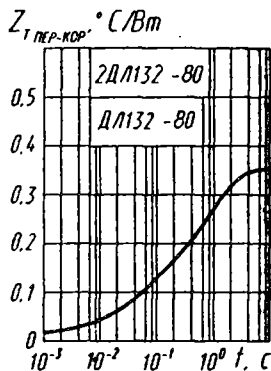
Зависимости допустимого неповторяющегося импульсного прямого тока от длительности импульса



Зависимость переходного теплового сопротивления переход—корпус от времени



Зависимость переходного теплового сопротивления переход—корпус от времени



Зависимость переходного теплового сопротивления переход—корпус от времени